

## دراسة أصل تكوين أقمار المشتري وخواصها الفيزياوية

فريد مصعب مهدي

قسم الفيزياء، كلية التربية للعلوم الصرفة، جامعة الأنبار.

استلام البحث 10، أيار، 2014  
قبول النشر 5، شباط، 2015



This work is licensed under a [Creative Commons Attribution-NonCommercial-NoDerivatives 4.0 International License](https://creativecommons.org/licenses/by-nc-nd/4.0/)

### الخلاصة:

تم وضع نموذج مطور لفرضية أسر الأقمار في تفسير أصل أقمار المشتري ، ودراسة تغير الخواص المدارية لهذه الأقمار مع البعد عن الكوكب . وتم تقسيم أقمار المشتري إلى نوعين بحسب خواصها المدارية و الفيزياوية هي الأقمار التي تكونت من مادة الكوكب نفسها وتمت تسميتها الأقمار الأصلية ، والأقمار التي تم إسرها من الفضاء المحيط به وتم تسميتها بالأقمار الدخيلة . وان الأقمار الدخيلة أصلها حزام الكويكبات وحزام كويبر في المنطقة الماورة بنيونية ، وان أصل كل زمرة من الأقمار هو كويكب نشطى بعد أن أصطدم مسبقا بجسم آخر ثم تجمع مجددا بفعل الجاذبية البسيطة لاجزائه فيما بينها وقد تفكك مرة أخرى بفعل تأثير جاذبية الكوكب عليه ، وان عملية الأسر تتم بفعل التفاعل الجذبي بين الكويكب أو المذنب وبين الكوكب عندما يدخل أحدهما ضمن كمة هيل للكوكب المشتري .

**الكلمات مفاتيحه :** نموذج، أسر الأقمار، المشتري، أقمار أصلية ودخيلة.

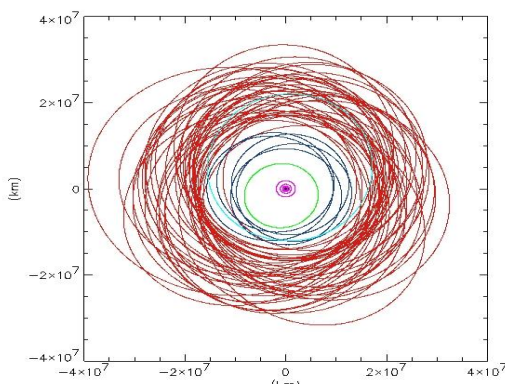
### المقدمة:

والكوكب يمتلك أكبر عدد من الأقمار بين كواكب المجموعة الشمسية . يبلغ عددها (67) قمرا مكتشفا لحد آلان تتراوح أقطارها بين (1 – 3100 km) ، وتتراوح مدة دوران هذه الأقمار حول الكوكب من عدة ساعات إلى ثلاثة سنوات أرضية بحسب بعدها من الكوكب. [3,2, 1]

**الخواص الفيزياوية لأقمار المشتري :**  
بدأت عملية الاكتشاف لأول أقمار الكوكب في القرن السابع عشر الميلادي عندما اكتشفت أقمار غاليليو الأربعية وبعدها توالت الاكتشافات على مر القرون الأربع الأخيرة ولكن بنساب قليلة حتى عامي (1980,1986) عند وصول مركبتي فويجر (2,1) إلى مدار المشتري حيث صورت العديد من الأقمار غير المرئية من الأرض . وبعد تطور أجهزة الرصد الأرضية والجوية في نهاية القرن العشرين وببداية القرن الحالي تم اكتشاف الكثير من الأقمار التي تدور حول الكواكب الغازية ومنها كوكب المشتري و المخطط رقم (1) يمثل عدد الأقمار المكتشفة بحسب سنوات الاكتشاف. [4,3]

يعد كوكب المشتري خامس كواكب المجموعة الشمسية بعدها عن الشمس وأكبرها حجما وكتلة إذ يبلغ قطره بنحو (11) مرّة بقدر قطر الأرض و(0.1) من قطر الشمس وكتلته تعادل (318) مرّة بقدر كتلة الأرض وبنحو (2.5) من كتلة باقي كواكب المجموعة ، يبعد المشتري نحو (5.2) وحدة فلكية عن الشمس ، ويقاد إن يكون نجما لو كان ذا كتلة أكبر فهو يشبه النجوم بسبب تكوينه من الهيدروجين والهليوم لكنها سائلة تحت الضغط العالي جدا في باطنها أي إن الكوكب ينكمش ويصغر ، وتنطلق حرارة من داخل الكوكب تعادل ضعفي الحرارة التي يتلقاها من الشمس . وهو ثانى المع جرم في السماء بعد كوكب الزهرة عندما يرى من الأرض ليلا ، وهو أسرع الكواكب في دورانه حول نفسه حيث يكمل دورته المحورية كل عشر ساعات تقريبا ويملاك الكوكب أكبر مجال مغناطيسي من كل الكواكب حيث تبلغ قوته بنحو (12) مرّة بقدر قوة المجال المغناطيسي الأرضي ، وتبلغ كثافة الكوكب بنحو ( $1.4 \text{ gm/cm}^3$ ) أي قريب من كثافة الماء ، وهو الجرم الوحيد الذي شوهدت أجسام تصطدم به حيث أصطدم به المذنب شيوماكر- ليفي - دي Shoemaker-Levy /D/ عام (1994) ثم كويكبان آخران أكتشفهما هاوي فلك بالصدفة عامي (2009, 2010) ،

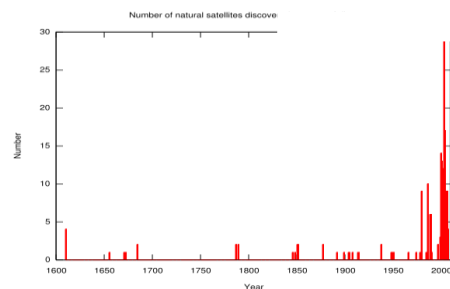
قطر كل منها أكبر من (1km) ، وبالنسبة للكوكب المشتري فإن أكبر أقماره الامتنظمة هيماлиا (Himalia) وقطره يساوي (180 km) تقريباً وقطر أصغرها يقارب (1-2 km) . إن مدارات هذه الأقمار من أكثر المدارات تعقيداً في المنظومة الشمسية بسبب دورانها على مسافات بعيدة جداً عن كواكبها فهي تسحب من كثافة الجاذبيتين الكوكبية والشمسية وهذا يجعل المحاور الكبرى لمداراتها الناقصة تدور بسرعة عالية مما يجعل تمثيل مسارات هذه الأقمار بمنحنيات مغلقة غير دقيق وبدلاً من ذلك فإن هذه الأقمار ترسم مسارات غريبة شبيهة بالإشكال التي تصنعها لعبة الأطفال سبایر وکراف (Spiro graph) كما في المخطط رقم (2) (2) وذات ميل عالي عن استواء الكوكب وقسم منها يدور بالاتجاه المعاكس لدوران الكوكب حول محوره . [7,6]



مخطط رقم (2) يمثل مدارات جميع الأقمار حول كوكب المشتري [9, 8]

لقد وضعت عدة نماذج وفرضيات لتفسير أصل تكون الأقمار الامتنظمة ووجودها في مداراتها الحالية حول الكواكب العملاقة ومنها كوكب المشتري والمشاكل التي لم تعالجها هذه النماذج وأهمها:

**1 - نموذج التجاوب التفاوتى :**  
**(Correction resonance)** وينص على أنه عند وجود التأثيرات المختلفة في الأقمار بالتزامن يصبح الوضع معقداً جداً في مداراتها . فإذا كان معدل المبادرة (السابق) (percussion) لقمر قريباً من معدل دوران كوكبه المضيف حول الشمس يقال إن القمر في حالة تجاوب تفاوتى ، وإن الآثار المتواضعة للجانبية الشمسية تترافق مع الزمان مما يجعل المدار غير مستقر ، فيتطاول القطع الناقص إلى مدى يؤدي إلى اصطدام القمر بالكوكب أو بأحد أقماره الكبيرة أو خروجه من كثرة هيل ووقوعه تحت تأثير جاذبية الشمس ، إن المدارات المتقدمة (Prograde)



مخطط رقم (1) بين عدد الأقمار الطبيعية المكتشفة مع سنوات الاكتشاف [3]

لقد اعتاد الفلكيون على الاعتقاد إن معظم أقمار الكواكب تشكلت من الأقراص التي تحيط بكتابتها تماماً مثل تشكيل المنظومة الشمسية من قرص من الغبار والغاز ، وتحول الجزء الخارجي من هذا القرص إلى كواكب ، ولكن بالنسبة للأقمار تكون الأبعد أصغر ، تتحرك هذه الأقمار في مدارات واقعة بمستوى استواء الكوكب نفسه الذي يدور حوله أو قريباً منه و باتجاه دوران الكواكب حول نفسها ، أما الأجسام الأخرى التي تدور حول الكواكب ولا تطابق هذه المواصفات فقد تم عدها أقماراً غير منتظمة . وقد تبين مؤخراً وبعد تطور أجهزة وعمليات الرصد إن عدد الأقمار الامتنظمة أكبر من عدد الأقمار النظامية ، ويبين العلماء إن السلوك المخالف للأقمار اللانظامية هو إشارة إلى إنها من أصل مختلف . [5,4]

إن أول قمر لانظامي تم اكتشافه كان تريتون (Triton) وهو أحد أقمار نبتون عام (1846) م ولم يتيسر اكتشاف صغر حجمها ونورها إلا حديثاً بسبب تبعثر حجومها ونورها الخافت المختلف عن الأقمار النظامية ، يضاف إلى ذلك توزعها على رقعة شاسعة جداً من الفضاء حيث إن القمر كالتسو (Callisto) أبعد أقمار المشتري النظامية يبعد بنحو  $1.9 * 10^6$  km من الكوكب في حين يبلغ بعد أبعد أقماره اللانظامية المعروفة قربة ( $30 * 10^6$  km) ، هذه المسافة قريبة من نصف قطر المجال الجنبي لكوكب المشتري أو ما يسمى بكرة هيل (Hill) sphere والتي خارجها تختطف الشمس أي قمر طليق . وإذا كان من الممكن للعين رؤية كرة هيل وكانت الزاوية التي ترى ضمنها هذه الكرة تعادل ( $10^\circ$ ) في القبة السماوية وهي أكبر (20) مرة من قطر الزاوي لقمر الأرض عندما يكون بدرا ، وهذه المساحة تكون هائلة مقارنة بحقول الرؤيا لبعض المقارب الخاصة للبحث والمسح عن الأقمار لذلك يحتاج الراصدون وقتاً وجهداً لنغطيتها بأكملها . [5,4,3]

يقدر العلماء إن للكوكب المشتري وبباقي الكواكب العملاقة قربة (100) قمر لانظامي

الماضي ، والمرحلة الأولى في هذه الآليات الثالث جميعها هي تشكيل أجسام بحجم الكويكبات تسمى نوى كوكبية ويتجمع الكثير من هذه النوى لتكوين القلوب الصخرية للكواكب العملاقة وتبقي مخلفاتها معرضة للأسر . ولكي يتعرض جسم يسبح في مدار حول الشمس لأسر دائم في مدار مستقر حول كوكب ما ، لابد أن يفقد بعض طاقته الابتدائية وإبطاء سرعته لمنعه من الإفلات من الكوكب ولا وجود لأي عملية لتبييض الطاقة في المنظومة الشمسية حاليا ، والآليات الثلاث هي: [14,13,12,8]

**أ - نموذج السحب الغازي (drag – gas) :** أفترحه كل من بولاك وبيرنر وتوبيرمن وكالة ناسا للفضاء وينص على إن الأقمار فقدت طاقتها بفعل الاحتكاك الذي حدث لها خلال عبورها الأجزاء الشاسعة للكواكب البدائية العملاقة الغازية . ويعتقد إن الكواكب العملاقة وخاصة المشتري وزحل تكونت عندما سحب جسم مركزي مكون من الصخور والجليد كتلته التي تعادل عشرة أمثال كتلة الأرض كميات هائلة من الغاز من القرص البدائي المحيط بالشمس الفتية ، وقبل أن يتذبذب الكواكبان شكليهما الحديثين المترافقين نسبيا ، وربما مرا بمراحلة انتفاح عابرة كانت الأجراءات خلالها تمتد مسافات أكبر بمتات المرات من امتداداتها الحالية . وفي هذا النموذج فإن الكويكب أو المذنب العابر يلقى واحدا من ثلاثة مصائر مختلفة اعتمادا على حجمه وكتلته ، فإن كان صغيرا جدا فإنه يحرق في الجو المنتفخ مثلما يحدث للشهب ، وإن كان كبيرا جدا شق طريقه من دون أن يعيقه شيء وتتابع سيره في مدار حول الشمس ، أما إذا كان معتدل الحجم والكتلة فإنه يتباطأ ويؤسر ، وهذه العملية مماثلة تماما لإجراءات الكبح الهوائي التي استعملت في الكثير من المسابير الكوكبية لدخولها في مدارات حول الكوكب . ومن المشكلات التي يواجهها هذا النموذج إنه لا يفسر وجود أقمار لا منتظمة حول أورانوس ونبتون لأن هذين الكويكبين هما عملاقان جليديان ومحاطان بطبة رقيقة من الهيدروجين والهليوم ، وبسبب بعدهما الكبير عن الشمس وانخفاض الكثافة في المناطق الخارجية من القرص المحيط بالشمس ، فقد استغرق قلبهما زمناً أطول للبلوغ الكتلة الحرجة اللازمة لتعجيل حدوث انهيار غازي ، وقبل أن يحدث ذلك كانت العيمة السديمية الشمسية قد تبدلت كثيراً لذا لم يتيسر فقط لأورانوس ونبتون جوان يحيطان بهما شبيهان

أكثر عرضة للتاذدي من المدارات المتراجعة ، فإذا كانت الأقمار اللامنظمة معرضة بالأصل لأن تكون متقدمة أو متراجعة باحتمالين متساوين فإن التجاوب التفاوتى قد يفسر السبب في كون معظم الأقمار هي حاليا متراجعة [11,8]

**2 - نموذج تجاوب كوزاي (Kozai resonance) :** هذا الأنماذج من التجاوب يزاوج بين ميل المدار وشكله ، فالأقمار التي تكون مداراتها مائلة ، تتحول هذه المدارات إلى مدارات قطع ناقص ذات انحراف مركزي عالي جداً ويحمل أن يؤودي ذلك إلى قذفها خارجاً أو تدميرها . وقد يكون هذا سبباً في عدم العثور على أقمار ميل مداراتها تقع بين (50°-130°) لذلك يمكن القول إن الأقمار اللامنظمة الموجودة حاليا هي الناجية من التفاعلات الجذبية التي قضت على الكثير من أقمارها الشقيقة . [12,11]

**3 - نموذج الأقمار الممزقة (Moons torn) :** يرى نسکوري ومعاونيه إن أغلب الأقمار تتنمي إلى عائلات أو زمرة مختلفة وكل زمرة أو عائلة مكونة من عناصر لها مدارات مشابهة في الخواص المدارية وهذا يشير إلى إن عناصر كل زمرة ماهي إلا قطع من أقمار كبيرة تحطمـت نتيجة صدمة ما مع جسم آخر ومازالت تواصل حركتها في مدار تلك الأقمار الكبيرة ، وإذا صح هذا التفسير فإن كثيراً من الأقمار اللامنظمة التي نراها اليوم هي جيل ثاني لأقمار سابقة . ويعتقد العلماء إن هذه التصادمات قد حدثت منذ زمن بعيد لأن ذلك نادراً ما يحدث ذلك خلال هذه الأيام ، وقد وجد كراف وريتيك إن الأقمار التي تتنمي إلى زمرة ما غالباً ما تكون مشابهة في التركيب وهذا يؤكد الفكرة القائلة بأن أقمار زمرة ما هي شظايا جسم أكبر تم القضاء عليه بحادث ما ، وقد حصلت المركبات الفضائية المطلفة حديثاً إلى الفضاء منها مركبة كاسيني في (2004) على صور لبعض الأقمار اللامنظمة تبين آثار ضربات وصدامات بعض الأجسام على سطح هذه الأقمار . [12, 9,8]

**4 - نموذج الأسر (capture):** بسبب الخاصيات المدارية الفريدة للأقمار اللامنظمة يعتقد بعض العلماء بأنها نشأت في مدارات حول الشمس ثم أسرتها الكواكب المضيفة الحالية في وقت لاحق ، ومن خلال معرفة تركيبها ومكوناتها تبين بأنها مشابهة لتكوين بعض المذنبات التي تكونت بعيداً عن الشمس ثم أسرتها الكواكب العملاقة ، وقد اقتربت ثلاث آليات للأسر في سبعينيات القرن

سريعاً جداً للكواكب ، وكل ما تحتاجه هو عدد كافي من التصادمات التي تحدث قريباً من الكواكب . بعد أن تكون كرات هيل قد نمت لتصل إلى حجمها الحالي وقبل أن يزول الحطام المختلف من تكون الكواكب ولكن لا وجود للتصادمات في الوقت الحالي .

وقد فسر العلماء أصل هذه الأقمار الالامنتمنة بأنها كويكبات ومذنبات تكافلت في المنطقة نفسها من النظام الشمسي الذي يقع به الكوكب الذي أخْتطفها نهاية المطاف ، والتي أما دمجت مع جسم الكوكب أو تم أسرها لدوران في فلكه . وقد طرح نموذج آخر عام (2005) من قبل نسيكانس وزملائه أعتقد بموجبه إن المنظومة الشمسية مليئة بالحطام طوال قرابة (700) مليون سنة بعد تشكل الكواكب ، وبعدها أحدثت التفاعلات الجذبية القوية (Gravitational interaction) بين المشتري وزحل اهتزازات زلزلت المنظومة كلها وقد تبعثرت بلايين من الكويكبات والمذنبات عندما اندفعت الكواكب الكبيرة إلى مداراتها الحالية الأكثر استقراراً . [14]

#### النموذج المقترن :

على وفق النظريات والنمادج المطروحة آنفاً ، تم تطوير نموذج الأسر لتفسير نشوء وتكون الأقمار الانظامية وتكون الأقمار النظامية دورانها حول الكواكب العملاقة ومنها كوكب المشتري ودراسة الخواص الفيزيائية لهذه المدارات وكما يلي:

1 - تتكون الأقمار النظامية من الأقراص الكوكبية المكونة من الغبار والغاز والتي تتفصل من الكواكب بسبب تجاوزها الكثافة والحجم الحرج الذي عنده تتفصل المادة الخارجية من السديم الكوكبي على شكل حلقات للتجمع وتكون أقماراً نظامية إذا وصلت الكثافة والحجم الحرج الذي يتتيح لها التجمع وتكون القرم . وقد تتجمع بعض الحالات من المادة على شكل قطع صغيرة لا يمكنها تكون قمر لأنها أقل من الحجم الحرج الأدنى لذلك . ويعتمد تكون كثافة وحجم هذه الأقمار على موقع الحلقة المكونة لها حول الكوكب وكثافة المادة في هذه الحلقة إذ تكون أبعادها قريبة نسبياً من الكوكب وكثافة مادتها قريبة من كثافة القشرة الخارجية له . وذات مدارات شبه دائيرية و موازية لخط استواء الكوكب أو قريبة منه . وهذه الأقمار تدور باتجاه دوران الكوكب حول نفسه ، وذات أشكال كروية نظامية تقريباً بتأثير ال دوران المحوري والمداري لها ومدة تكوينها المقاربة لمدة تكوين الكوكب الأم ، لذلك يمكن تسميتها أقماراً أصلية ولدت من كواكبها . والأقمار

بجو المشتري وزحل . لذلك لاتضح هذه الآلية لهذين الكوكبين .

ب - **أنموذج الأسر المقوض : (Down capture – pull)** طرحة كل من هينهaimer وبوركو ويشير إلى إن وقت الأسر للأقمار حدث خلال مرحلة نمو الكواكب . ولا بد أن يكون تنامي الغاز على قلوب العملاقة الغازية منها جعل كتلها تتعاظم في عملية دعم ذاتي وهذا يؤدي إلى زيادة مفاجئة في حجم كرة هيل حول كل كوكب . وإن الكويكبات وغيرها من الأجسام الأخرى القريبة من الكواكب في لحظة نموه وجدت نفسها واقعة تحت تأثير المد الواسع لجاذبية الكوكب . لكن لهذه الآلية مشكلة كسابقتها في تعليل وجود الأقمار حول أورانوس ونبتون الذين لم يتعرض أي منهما لنمو سريع جداً في كتلته حيث تشير النماذج الموضوعة إلى إنها تتماماً ببطء شديد عن طريق تجمع لأجسام بحجم الكويكبات والمذنبات لمئات الملايين من السنين ، وكذلك الحال بالنسبة لكوكب المشتري وزحل . وثمة نموذج آخر حول تكون أورانوس ونبتون وضعه (بوس) هو إنها ابتدأ بضخامة المشتري وزحل ثم تضائلت تدريجياً بواسطة إشعاع مؤين صادر من نجوم ضخمة قريبة . لكن هذا النموذج فشل في تفسير هذا العدد الكبير من الأقمار الانظامية فيما لأن الكوكب الذي يتقلص غالباً ما يفقد أقماره بدلًا من أسره لها .

ج - **أنموذج أسر الأجسام الثلاثة: (Three Body capture)** طرحة كل من كولمير وفرانكلين في سبعينيات القرن الماضي ، ويشير إلى إن الاصطدامات بين جسمين في كرة هيل للكوكب ما يمكن أن تبدد قدرًا من الطاقة وهذا يؤدي إلى أسر أحدهما ، لكنها لم تلق قبولاً واسعاً في حينها . ولكن الأبحاث الجديدة بيّنت إن لا ضرورة لحدوث الاصطدامات ، فلا تحتاج الأجسام الثلاثة إلا إلى إن تتفاعل جنباً ، فإذا تبادلت الطاقة فيما بينها أمكن لأحدهما كسب طاقة على حساب الجسمين الآخرين وهذه العملية هي أنموذج لمفعول المقلع الثنائي الذي يستعمله مخطوط البعثات الفضائية لتنمية دفع المسابير إلى أعماق الكون ، وقد طرحت صيغة أخرى لأسر الأجسام الثلاثة من قبل أكنور وهامتون تشير إلى إن جسمًا ثالثًا ينقسم إلى قسمين بفعل جاذبية الكوكب . وهذا يؤدي إلى قفف أحدهما بعيداً وسحب الآخر ليسير في مدار حول الكوكب . إن آلية أسر الأجسام الثلاثة تتجزئ في كل من العملاقة الغازية والعملاقة الجليدية وهي لا تتطلب غالباً ضخماً أو تنامي

فهي ليست أقمار كبيرة سابقة تدور حول المشتري وتشتت بفعل الاصطدامات فيما بينها بحسب النماذج الموضعية سابقا ، لأن احتمالية اصطدام هذه الأقمار مع أجسام أخرى قليلة جدا لصغر أحجامها نسبة للمسافة التي تفصلها.

5 - تم أسر الأقمار الدخيلة عندما دخلت ضمن تأثير كررة هيل للكوكب المشتري والتي يصل قطرها إلى أكثر من ( $6 \times 10^7$  km) ويتم تحديد موقع مدارات هذه الأقمار بحسب طاقتها واتجاه حركتها عند الأسر والمعتمدة على سرعتها وكتلتها وموقع مدارها حول الشمس قبل الأسر ، وبسبب التأثير المشترك لجاذبية المشتري والشمس والطاقة المدارية لهذه الأقمار تكون مداراتها ناقصة ذات انحراف مركزي عالي ، ويكون اتجاه نقطة الحضيض (perigee) ونقطة الأوج (Apogee) غير ثابتة الموقع بالنسبة للكوكب لذلك يكون تأثير محصلة قوة الجذب عليه متعاكسة أو متعدمة أو باتجاه واحد حسب موقع القمر في مداره نسبة إلى الكوكب أو نقطتي الأوج والحضيض وبفعل تأثير وترانس هذه الفوئي يتطاول المدار حتى يفلت القمر من الأسر أو يسقط داخل الكوكب أو يتحول مداره إلى دائري . وقد حدث عدة حوادث مشابهة لهذه الآلة مثل سقوط بعض المذنبات والكويكبات داخل المشتري في السنوات الخمس عشرة الأخيرة . ولا حاجة لأن يتحقق أنموذج الأسر الثلاثي أو انقسام جسم ثالثي ، أو تفاعلات بين كوكبي زحل والمشتري زلزلت المجموعة الشمسية . ولو كان هذا الافتراض صحيحا لوجدنا آلاف الكويكبات حول كل من الكواكب العملاقة والكواكب الداخلية ويكون قد صدم الأرض وبباقي الكواكب الكثير منها أو تحولت إلى أقمار حولها ولم يتبق من حزام الكويكبات شيء لصغر حجم كلة أجزائه . وضعف جاذبية الشمس عليه ، وكذلك بالنسبة لنموذج السحب الغازي فإن الغازات سوف تكون قوية كبحها ضعيفة عندما تكون بعيدة عن الكوكب بسبب قلة كثافتها لذا يكون تأثيرها أقل من تأثير قوى الجاذبية للكوكب ، ولن يكون لهذه الغازات تأثيرا أيضا عندما تكون قريبا من سطح الكوكب مع إن كثافتها عالية لكن حجمها مع الكوكب سيكون أصغر تأثيرا لبعده عن مدارات هذه الأقمار . أن عملية الأسر والإفلات أو الانتحار للأقمار الدخيلة هي عملية متواترة ومستمرة مadam هنالك تأثير جذبي قوي للكوكب المشتري، يشغل مساحة واسعة من فضاء المجموعة الشمسية ووجود الآلاف من الكويكبات والمذنبات التي تدور

التي لا تنطبق عليها هذه الصفات لا تعد من الأقمار النظمية الأصلية للكوكب وإنما يمكن تسميتها أقمارا دخيلة .

2 - الأقمار الدخيلة هي التوابع التي تكون أحجامها وكتلها صغيرة نسبيا وذات مدارات عالية الميل (Inclination) عن خط استواء الكوكب ، وذات انحراف مركزي (Eccentricity) كبير ، وقد تدور بعكس اتجاه دوران الكوكب حول نفسه ، وكثافتها تختلف عن كثافة الكوكب ، وأشكالها غير نظامية وعددتها كبير مقارنة بالأقمار الأصلية . إذ يصل عددها إلى أكثر من (100) قمر حول كوكب المشتري لوحده لم يكتشف قسم منها لحد الآن لصغر حجمها وضعف الضوء المنعكس عنها.

3 - مصدر الأقمار الدخيلة هو حزام الكويكبات القريب من كوكب المشتري الذي يتأثر بجاذبيته العالية التي تقوم بإخراج بعض هذه الكويكبات من مداراتها حول الشمس تدريجيا إلى مدارات أخرى ثم تأسراها لمدة معينة ، وقد تفلت من جاذبية الكوكب لتدور حول الشمس مرة أخرى أو تقذف خارج المجموعة الشمسية أو تلهم من قبل الكوكب ، أو تكون هذه الأقمار هي عبارة عن مذنبات أو كويكبات قادمة من حزام كويبر أو غيمة أورات خارج مدار نبتون وتمر ضمن كررة هيل للكوكب المشتري فيتم أسرها وتلاقي المصير نفسه ، ولم تتكون هذه الكويكبات في المناطق التي تكونت فيها هذه الكواكب والإ تكون قد اندمجت فيها عندما كانت في طور التكوين بسبب حجم الكواكب الكبيرة وجاذبيتها العالية أو تندمج مع بعضها لتكوين كواكب صغيرة وهذا لا يمكن أن يحدث في هذه المناطق للسبب السابق وكذلك عدم تطابقه مع الفرضية السديمية التي تفترض انفصال حلقات عملاقة لتكوين الكواكب الغازية بسبب ضعف قوة الجذب المركزي للأجزاء الخارجية للسديم الشمسي وتاثير جاذبية الكواكب العملاقة التي لا تسمح بذلك .

4 - تكون الأقمار الدخيلة على شكل زمر أو مجاميع . كل مجموعة تكون متقاربة في مداراتها ومتتشابهة في تركيبها ، ونعتقد أنها عبارة عن كويكب قد تمت تجزئته لأنه أصلا مكون من مجموعة شظايا متلاصقة تفككت تحت تأثير جاذبية المشتري ، وهذا الكويكب قد تعرض لاصطدامات سابقة في أثناء وجوده في حزام الكويكبات وتحول إلى شظايا متعددة والتي تجمعت من جديد لكن بصورة غير متماسكة أو مذنب كثافته قليلة تفك بعد إداة الجليد منه عند اقترابه من المشتري . لذلك

قمر وزمرة كارم ([Carme](#)) المكونة من (17) قمر وزمرة بسيفائي ([Pasiphae](#)) المكونة من (16) قمر والقمر ([Themisto](#)) المنفرد في صفاتيه وزمرة كاربو ([Carpo](#)) المكونة من قمرتين فقط . وتم رسم العلاقة بين الميل والانحراف المركزي والكتلة وتغيرها مع نصف المحور الكبير لمدارات هذه الزمرة وكما يلي:

**1** - شكل رقم (4) يبين تغير ميل مدارات زمرة هيماطيا وأنانك مع نصف المحور الكبير لمداراتها وتبين إن لكل مجموعة ميل مقارب فيما بين أقمارها ولكنها مختلفة بين المجموعتين إذ إن ميل مدارات زمرة هيماطيا محصور بين ( $27^{\circ}$  -  $30.5^{\circ}$ ) بينما يكون الميل في مجموعة أنانك ( $141.8^{\circ}$  -  $151.6^{\circ}$ ) عن دائرة استواء الكوكب ما عدا القمر (2011J1) والذي يبلغ ميله ( $162.8^{\circ}$ ).

**2** - شكل رقم (5) يبين تغير الانحراف المركزي مع نصف المحور الكبير لزمرة هيماطيا وأنانك وتبين إن ليس هناك علاقة بين تغير كل منهما بالنسبة للأخر .

**3** - الشكل رقم (6) يبين تغير الكتلة مع نصف المحور الكبير لزمرة هيماطيا وأنانك وتبين من الشكل بأن هناك علاقة نسبية إذ توجد كتلة كبيرة بعد كل مجموعة من الكتل الصغيرة للأقمار .

**4** - شكل رقم (7) يبين تغير الميل مع نصف المحور الكبير لمدارات أقمار زمرة كارم وتبين إن الميل متغير بين ( $162^{\circ}$  -  $167^{\circ}$ ) وبشكل غير منتظم .

**5** - شكل رقم (8) يبين تغير الانحراف المركزي مع نصف المحور الكبير لمدارات أقمار زمرة كارم وتبين إن الانحراف المركزي يتغير تغيراً بسيطاً بين ( $0^{\circ}$  -  $15^{\circ}$  -  $0^{\circ}$ ) بأن العلاقة شبه ثابتة .

**6** - شكل رقم (9) يبين تغير الكتلة مع نصف المحور الكبير لمدارات زمرة كارم وتبين إن هناك علاقة نسبية ، كما في الشكل رقم (6) السابق .

**7** - شكل رقم (10) يبين تغير الميل مع نصف المحور الكبير لمدارات أقمار زمرة بسيفائي وتبين بأن الميل يتغير بشكل غير منتظم بين ( $137^{\circ}$  -  $163^{\circ}$ ).

**8** - شكل رقم (11) يبين تغير الانحراف المركزي مع نصف المحور الكبير لأقمار زمرة بسيفائي وتبين إن العلاقة شبه ثابتة إذ تتغير قيمة الانحراف بين ( $0^{\circ}$  -  $188^{\circ}$ ) ما عدا القمر أويد ([Aoede](#)) الذي يبلغ انحراف مداره (0.6011).

حول الشمس . ونعتقد إن كوكب المشتري هو حائط الصد الأكبر لحماية الأرض من الإجرام السماوية التالئة في الفضاء بسبب تأثيره الواسع في هذه الأجسام ومحاولة أسرها أو حرف مسارها.

**6** - من الجدول رقم (1) الذي تم الحصول عليه من عدة مصادر والذي تم ترتيب الأقمار فيه بحسب بعدها عن الكوكب وكذلك بحسب الزمرة التي تتنمي إليها ، وتم رسم تغير كل من ميل مداراتها (Inclination) عن استواء الكوكب والانحراف المركزي (Eccentricity) والكتلة (Mass) مع نصف المحور الكبير (semi-major axis) لمداراتها لكل زمرة على حده ، ورسم هذا التغير أيضاً لجميع الأقمار الأصلية والدخيلة لغرض مقارنتها معاً وكما يلي:

**أولاً- الأقمار الأصلية :** وهي تتكون من ثمانيّة أقمار وهي الأقمار الداخلية وأقمار غاليليو :

**1** - الشكل رقم (1) يبين تغير ميل المدار مع نصف المحور الكبير للأقمار الأصلية وتبين إن ميلها موازي لاستواء كوكب المشتري أو مقارب له أي أقل من ( $0.5^{\circ}$ ) ، ما عدا القمر ثيبي ([Thebe](#)) وهو من الأقمار الداخلية والذي ميل مداره يقارب ( $1^{\circ}$ ) تقريباً عن استواء الكوكب .

**2** - الشكل رقم (2) يبين مقدار الانحراف المركزي مع نصف المحور الكبير لمدارات الأقمار الأصلية ، وتبين إن هذه المدارات قريبة من الدائرية أو لها انحراف صغير جداً أقل من ( $0.1^{\circ}$ ) ما عدا القمر ثيبي ([Thebe](#)) من زمرة الأقمار الداخلية إذ يبلغ الانحراف المركزي لمداره بنحو ( $0.175^{\circ}$ ).

**3** - الشكل رقم (3) يبين تغير مقدار الكتلة للأقمار الأصلية نصف المحور الكبير لمداراتها ، وتبين إن مقدار التغير في الكتلة صغير بالنسبة لزمرة الأقمار الداخلية فيما بينها وكذلك الحال لزمرة أقمار غاليليو ، لكن الفرق كبير بين الزمرتين . من هنا نجد إن الأقمار الخارجية للأقمار الأصلية أكبر كتلة من الأقمار الداخلية . وهذا ناتج من قوة جذب الكوكب على الحلقات المنفصلة منه إذ تقل كلما ابتعدت الحلقات عنه لذلك نجد الحلقات الخارجية أكبر وأكثر كثافة من الداخلية لهذا تشكل هذا التوزيع للأقمار الأصلية ، وهو يشبه من حيث الكتلة والحجم توزيع الكواكب السيارة حول الشمس .

**ثانياً- الأقمار الدخيلة :** وهي تتكون من (59) قمراً موزعة على ست زمر وهي زمرة هيماطيا ([Himalia](#)) المكونة من خمسة أقمار وزمرة أنانك ([Ananke](#)) المكونة من (18)

ضمن منطقة التأثير الجذبي للكوكب وهي كرة هيل ، إذ أدت قوة الجذب إلى حرف هذه الأجسام وجعلها تدور في فلكه . وبسبب اتجاه حركتها السريعة عند المرور وعدم انتظام أشكالها والتأثيرات الجاذبية الأخرى من الشمس والكواكب المجاورة أخذت مداراتها شكل قطع ناقص ذي انحراف مركزي كبير نسبياً وميل عن استواء الكوكب كبير أيضاً . وكذلك دوران قسم منها بعكس دوران الكوكب حول نفسه وهذا يؤدي مستقبلاً إلى الإفلات من جاذبية الكوكب والدوران حول الشمس أو السقوط والانتحار في الكوكب.

4 - مصدر هذه الكويكبات هو حزام الكويكبات القريب بين المريخ والمشتري والذي كانت تدور حول الشمس ثم غيرت مداراتها بفعل الجاذبية التراكمية للكوكب عليها ، وكذلك من حزام كويبر في المنطقة ما وراء نبتون والتي تعد مصدراً آخر للكويكبات والمذنبات والتي تتدخل مداراتها مع مدارات بعض الكواكب والتي تسقط في الأسر عند مرورها ضمن نطاق كره هيل للمشتري.

5 - قسم من هذه الإجرام تكون قد تشتت سابقاً بفعل اصطدام الكويكب مع كويكب آخر ضمن الحزام بسبب تقارب مواقعها ومداراتها ثم تلاصقت أجزاءه مرة أخرى بفعل الجاذبية البسيطة بين أجزائهما ، وبعد خروجها من مداراتها الأصلية بفعل الجاذبية عليها تم أسرها من قبل الكوكب عادت إلى حالة التنشيط من جديد بسبب انحسار قوة الجاذبية المشتركة تحت تأثير الجاذبية الكبيرة للمشتري مما أدى إلى تكوين زمرة قمرية مشابهة في الخواص الفيزيائية والكيماوية والمدارية .

6 - مدارات الأقمار الداخلية غير ثابتة مع الزمن حيث يتغير موقع الأوج والحضيض لهذه المدارات وكذلك زاوية الميل واتجاه الحركة بسبب عدم انتظام أشكالها والتأثير الجذبي للأقمار المجاورة لذلك تظهر هذه المدارات متداخلة مع بعضها البعض الشيء . وهذه الحركة للمدارات قد تؤدي إلى زيادة أو نقصان التأثير الجذبي عليه بالقدر والاتجاه وذلك يؤدي إلى الإفلات من جاذبية الكوكب إلى الفضاء الخارجي أو الدخول فيه.

7 - بسبب الحجم الكبير لكرة هيل للكوكب المشتري نعتقد إن هنالك أقماراً داخلية أخرى لم تكتشف بعد لأنها عن الكوكب وصغر حجمها وقلة إضاءتها.

8 - عملية أسر الأقمار أكبر من عملية فقدانها أو التهامها لذلك نجد إن عددها في تزايد مع الزمن ، لذلك يمكن أن نقول إن كوكب المشتري هو الحارس الخارجي الأكبر للكواكب الداخلية ومنها الأرض ، حيث يحميها من الإجرام السماوية

ثالثاً - رسم العلاقة بين الميل والانحراف المركزي والكتلة مع نصف المحور الكبير لجميع الأقمار الداخلية وكما يلي :

1 - شكل رقم (13) يبين تغير الانحراف المركزي مع نصف المحور الكبير للأقمار الداخلية وتبيّن أن هذا التغير متقارب إذ ينحصر بين ( $140^{\circ}$  -  $165^{\circ}$ ) ، ما عدا أقمار زمرة هيمالايا والتي ينحصر ميل مداراتها بين  $27^{\circ}$ - $30^{\circ}$  من استواء الكوكب.

2 - شكل (14) يبين تغير الانحراف المركزي مع نصف المحور الكبير لمدارات الأقمار الداخلية وتبيّن إن التغير ينحصر بين ( $0.4^{\circ}$  -  $0.15^{\circ}$ ) ماعدا بعض الأقمار الفليلة الشاذة والتي ميلها أكبر أو أصغر بقليل من ذلك وبشكل غير منتظم .

3 - شكل رقم (15) يبيّن تغير الكتلة مع نصف المحور الكبير لمدارات الأقمار الداخلية وتبيّن إن التغير نبضي ، حيث توجد كتل كبيرة على مسافات متباينة بين الكتل الصغيرة . وهي خمس كتل كبيرة نسبياً تفصلها مسافات متقاربة في القيمة نسبياً.

### الاستنتاجات :

1 - تقسم أقمار كوكب المشتري إلى قسمين حسب خواصها الفيزياوية والمدارية ، الأولى أقمار تكونت من مادة الكوكب نفسها أسميناها الأقمار الأصلية ، والثانية هي عبارة عن أجسام تم أسرها من الفضاء المحيط بالكوكب أسميناها الأقمار الداخلية .

2 - الأقمار الأصلية (النظمية) لكوكب المشتري هي الأقمار التي تكونت من نفس مادة الكوكب عندما انفصل جزء من المادة الخارجية منه على شكل حلقات بسبب قوة الطرد المركزي الناتجة من الحركة الدورانية السريعة للكوكب وتجاوز كتلته وحجمه الكتلة والحجم الحرج ، لذلك يكون ميل مدارها قريباً من استواء الكوكب وقريباً من الدائرية وتدور باتجاه دوران الكوكب حول نفسه ، وتكون أشكالها كروية منتظمة تقريباً بسبب قدم تكوينها وتأثيرات الجاذبية الداخلية لها وجاذبية الكوكب عليها . تتكون الأقمار الأصلية من مجموعتين من الأقمار بحسب بعدها عن الكوكب الأقمار الداخلية وعدها أربعة وهي (ميتس وادرستيا ومالشيا وتبي) وهي ذات كتل صغيرة نسبياً ، والمجموعة الثانية هي أقمار غاليليو وهي أربعة أقمار (أيو و ايوروبا و جيانيميد وهو اكبر أقمار الكوكب وكاليستو ) وهذا التوزيع مشابه تقريباً لتوزيع الكواكب السيارة حول الشمس .

3 - الأقمار الداخلية (اللامتنظمة) هي أجرام سماوية عبارة عن الكويكبات والمذنبات تم أسرها من قبل الكوكب عند مرورها (في مرحلة سابقة)

الكوكب وكما مبين في الإشكال ( 14-11-8-5 ) حيث يعتمد هذا الأمر على طاقة القمر الدخلي.

**12** - مقدار الميل للأقمار الداخلية لا يتغير مع البعد فقيمة متقاربة لكل زمرة وهي عالية جدا تصل في بعض الأقمار إلى  $(165^{\circ})$  ما عدا أقمار زمرة هيمالايا والتي تكون قيمتها أقل من  $(30^{\circ})$  كما في الأشكال ( 13-10-7-4 ).

**13** - تغير الكتلة للأقمار الداخلية بشكل نبضي مع البعد حيث توجد كتل كبيرة على مسافات مختلفة من الكوكب ويمكن عد هذه الأقمار كبيرة نسبياً بمنزلة الأم لكل زمرة والذي يعمل على حمايتها من الانفلات ، وهي مصدر لهذه الزمرة كما في الشكل ( 15 ) .

النائمة في فضاء ما بين الكواكب لأن المشتري يمتلك مجالاً جذرياً كبيراً جداً.

**9** - يتغير كل من الميل ( Inclination ) والانحراف المركزي ( Eccentricity ) والكتلة ( Mass ) للأقمار الأصلية بشكل شبه نبضي مع البعد وهي متقاربة في هذه الخواص كما في الإشكال ( 3-2-1 ).

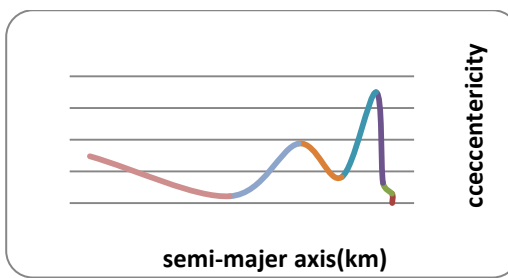
**10** - الأقمار الداخلية القريبة من الكوكب أكبر كتلة من الأقمار البعيدة بفعل الجاذبية المتبادلة بين هذه الأقمار والكوكب التي تعتمد على مقدار الكتلتين بحسب قانون نيوتن الأول في الجاذبية .

**11** - ليس هناك علاقة منتظمة بين الانحراف المركزي لمدارات الأقمار الداخلية والبعد عن

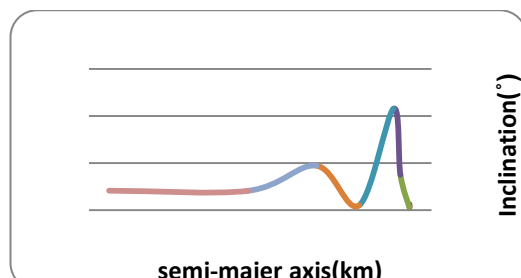
جدول رقم ( 1 ) يمثل الخواص الفيزيائية والمدارية لأقمار كوكب المشتري [ 8,7 ]

Inner Group							
Order	Name	Diameter (km)	Mass ( $\times 10^{16}$ kg)	Semi-maj. (km)	Orb.peri (d)	Inclination (°)	Eccentr.
1	<u>Metis</u>	$60 \times 40 \times 34$	3.6	127,690	+7h 4m 29s	$0.06^{\circ}$	0.000 02
2	<u>Adrastea</u>	$20 \times 16 \times 14$	0.2	128,690	+7h 9m 30s	$0.03^{\circ}$	0.0015
3	<u>Amalthea</u>	$167 \pm 4.0$ km $250 \times 146 \times 128$	208	181,366	+11h 57m 23s	$0.374^{\circ}$	0.0032
4	<u>Thebe</u>	$116 \times 98 \times 84$	43	221,889	+16h 11m 17s	$1.076^{\circ}$	0.0175
Galilean Group							
Order	Name	Diameter (km)	Mass ( $\times 10^{16}$ kg)	Semi-maj. (km)	Orb.peri (d)	Inclination (°)	Eccentr.
5	<u>Io</u>	$3,660.0 \times 3,637.4 \times 3,630.6$	8,931,900	421,700	+1.769 1	$0.050^{\circ}$	0.0041
6	<u>Europa</u>	3,121.6	4,800,000	671,034	+3.551 2	$0.471^{\circ}$	0.0094
7	<u>Ganymede</u>	5,262.4	14,819,000	1,070,412	+7.154 6	$0.204^{\circ}$	0.0011
8	<u>Callisto</u>	4,820.6	10,759,000	1,882,709	+16.689	$0.205^{\circ}$	0.0074
Himalia Group							
Order	Name	Diameter (km)	Mass ( $\times 10^{16}$ kg)	Semi-maj. (km)	Orb.peri (d)	Inclination (°)	Eccentr.
10	<u>Leda</u>	16	0.6	11,187,781	+240.82	$27.562^{\circ}$	0.1673
11	<u>Himalia</u>	170	670	11,451,971	+250.23	$30.486^{\circ}$	0.1513
12	<u>Lysithea</u>	36	6.3	11,740,560	+259.89	$27.006^{\circ}$	0.1322
13	<u>Elara</u>	86	87	11,778,034	+257.62	$29.691^{\circ}$	0.1948
14	<u>S/2000 J 11</u>	4	0.009 0	12,570,424	+287.93	$27.584^{\circ}$	0.2058
Ananke Group							
Order	Name	Diameter (km)	Mass ( $\times 10^{16}$ kg)	Semi-maj. (km)	Orb.peri (d)	Inclination (°)	Eccentr.
17	<u>Euporie</u>	2	0.001 5	19,088,434	-538.78	$144.694^{\circ}$	0.0960
18	<u>S/2003 J 3</u>	2	0.001 5	19,621,780	-561.52	$146.363^{\circ}$	0.2507
19	<u>S/2003 J 18</u>	2	0.001 5	19,812,577	-569.73	$147.401^{\circ}$	0.1569
20	<u>S/2011 J 1</u>	1	0.001 5	20,155,290	-582.22	$162.8^{\circ}$	0.2963
21	<u>S/2010 J 2</u>	1	0.001 5	20,307,150	-588.36	$150.4^{\circ}$	0.307
22	<u>Thelxinoe</u>	2	0.001 5	20,453,753	-597.61	$151.292^{\circ}$	0.2684
23	<u>Euanthe</u>	3	0.004 5	20,464,854	-598.09	$143.409^{\circ}$	0.2000
24	<u>Helike</u>	4	0.009 0	20,540,266	-601.40	$154.586^{\circ}$	0.1374
25	<u>Orthosie</u>	2	0.001 5	20,567,971	-602.62	$142.366^{\circ}$	0.2433
26	<u>Iocaste</u>	5	0.019	20,722,566	-609.43	$147.248^{\circ}$	0.2874
27	<u>S/2003 J 16</u>	2	0.001 5	20,743,779	-610.36	$150.769^{\circ}$	0.3184
28	<u>Praxidike</u>	7	0.043	20,823,948	-613.90	$144.205^{\circ}$	0.1840
29	<u>Harpalyke</u>	4	0.012	21,063,814	-624.54	$147.223^{\circ}$	0.2440
30	<u>Mneme</u>	2	0.001 5	21,129,786	-627.48	$149.732^{\circ}$	0.3169
31	<u>Hermippe</u>	4	0.009 0	21,182,086	-629.81	$151.242^{\circ}$	0.2290
32	<u>Thyone</u>	4	0.009 0	21,405,570	-639.80	$147.276^{\circ}$	0.2525
33	<u>Ananke</u>	28	3.0	21,454,952	-640.38	$151.564^{\circ}$	0.3445
40	<u>S/2003 J 15</u>	2	0.001 5	22,720,999	-699.68	$141.812^{\circ}$	0.0932

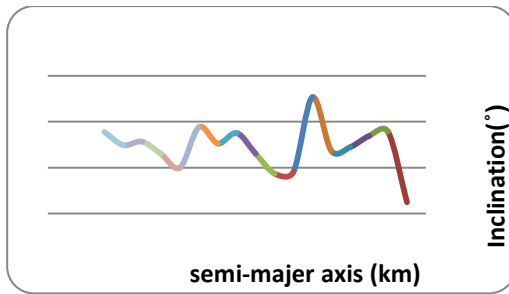
<b>Carme Group</b>							
<b>Order</b>	<b>Name</b>	<b>Diameter (km)</b>	<b>Mass (<math>\times 10^{16}</math> kg)</b>	<b>Semi-maj. (km)</b>	<b>Orb.peri (d)</b>	<b>Inclination (<math>^{\circ}</math>)</b>	<b>Eccentr.</b>
34	Herse	2	0.0015	22,134,306	-672.75	162.490	0.2379
35	Aitne	3	0.0045	22,285,161	-679.64	165.562	0.3927
36	Kale	2	0.0015	22,409,207	-685.32	165.378	0.2011
37	Taygete	5	0.016	22,438,648	-686.67	164.890	0.3678
38	S/2003 J 19	2	0.0015	22,709,061	-699.12	164.727	0.1961
39	Chaldene	4	0.0075	22,713,444	-699.33	167.070	0.2916
41	S/2003 J 10	2	0.0015	22,730,813	-700.13	163.813	0.3438
43	Erinome	3	0.0045	22,986,266	-711.96	163.737	0.2552
45	Kallichore	2	0.0015	23,111,823	-717.81	164.605	0.2041
46	Kalyke	5	0.019	23,180,773	-721.02	165.505	0.2139
47	Carme	46	13	23,197,992	-763.95	165.047	0.2342
51	Pasithee	2	0.0015	23,307,318	-726.93	165.759	0.3288
55	Eukelade	4	0.0090	23,483,694	-735.20	163.996	0.2828
59	Arche	3	0.0045	23,717,051	-746.19	164.587	0.1492
60	Isonoe	4	0.0075	23,800,647	-750.13	165.127	0.1775
61	S/2003 J 9	1	0.00015	23,857,808	-752.84	164.980	0.2761
62	S/2003 J 5	4	0.0090	23,973,926	-758.34	165.549	0.3070
<b>Pasiphae Group</b>							
<b>Order</b>	<b>Name</b>	<b>Diameter (km)</b>	<b>Mass (<math>\times 10^{16}</math> kg)</b>	<b>Semi-maj. (km)</b>	<b>Orb.peri (d)</b>	<b>Inclination (<math>^{\circ}</math>)</b>	<b>Eccentr.</b>
42	S/2003 J 23	2	0.0015	22,739,654	-700.54	148.849	0.3930
44	Aoede	4	0.0090	23,044,175	-714.66	160.482	0.6011
48	Callirhoe	9	0.087	23,214,986	-727.11	139.849	0.2582
49	Eurydome	3	0.0045	23,230,858	-723.36	149.324	0.3769
50	S/2011 J 2	1	0.0045	23,329,710	-725.06	151.8°	0.3867
52	S/2010 J 1	2	0.0015	23,314,335	-722.83	163.2°	0.320
53	Kore	2	0.0015	23,345,093	-776.02	137.371	0.1951
54	Cyllene	2	0.0015	23,396,269	-731.10	140.148	0.4115
56	S/2003 J 4	2	0.0015	23,570,790	-739.29	147.175	0.3003
57	Pasiphaë	60	30	23,609,042	-739.80	141.803	0.3743
58	Hegemone	3	0.0045	23,702,511	-745.50	152.506	0.4077
63	Sinope	38	7.5	24,057,865	-739.33	153.778	0.2750
64	Sponde	2	0.0015	24,252,627	-771.60	154.372	0.4431
65	Autonoe	4	0.0090	24,264,445	-772.17	151.058	0.3690
66	Megalite	5	0.021	24,687,239	-792.44	150.398	0.3077
67	S/2003 J 2	2	0.0015	30,290,846	-1077.02	153.521	0.1882
<b>Themisto Group</b>							
<b>Order</b>	<b>Name</b>	<b>Diameter (km)</b>	<b>Mass (<math>\times 10^{16}</math> kg)</b>	<b>Semi-maj. (km)</b>	<b>Orb.peri (d)</b>	<b>Inclination (<math>^{\circ}</math>)</b>	<b>Eccentr.</b>
9	Themisto	8	0.069	7,393,216	+129.87	45.762°	0.2115
<b>Carpo Group</b>							
<b>Order</b>	<b>Name</b>	<b>Diameter (km)</b>	<b>Mass (<math>\times 10^{16}</math> kg)</b>	<b>Semi-maj. (km)</b>	<b>Orb.peri (d)</b>	<b>Inclination (<math>^{\circ}</math>)</b>	<b>Eccentr.</b>
15	Carpo	3	0.0045	17,144,873	+458.62	56.001°	0.2735
16	S/2003 J 12	1	0.00015	17,739,539	-482.69	142.680°	0.4449



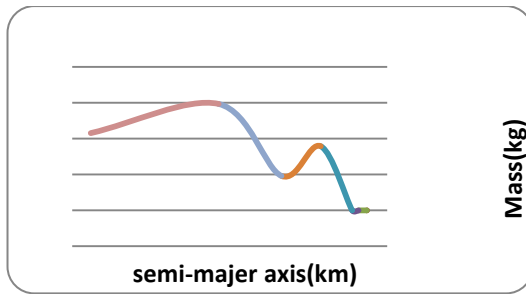
شكل (2) يبين تغير الانحراف المركزي مع نصف المحور الكبير للأقمار الأصلية



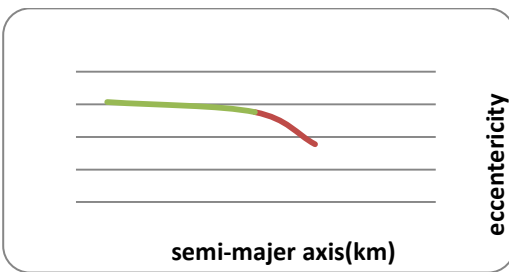
شكل (1) يبين تغير ميل المدار مع نصف المحور الكبير للأقمار الأصلية



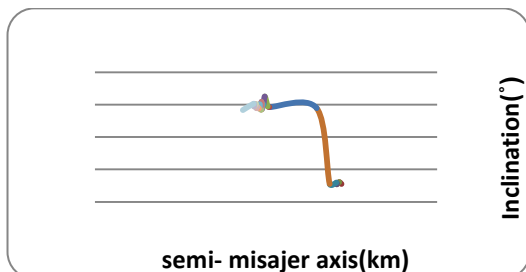
شكل (7) يبين تغير الميل مع نصف المحور الكبير للأقمار الدخلية (كارم)



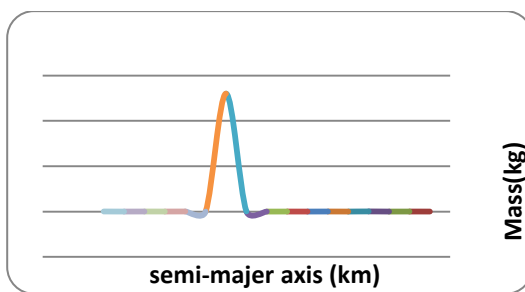
شكل (3) يبين تغير الكتلة مع نصف المحور الكبير للأقمار الأصلية



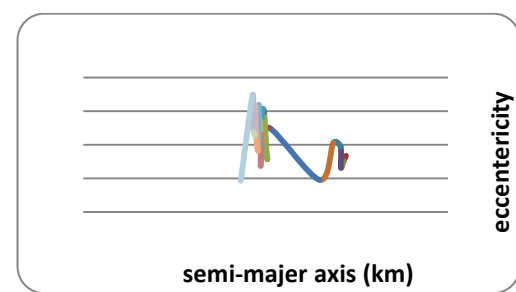
شكل (8) يبين تغير الانحراف المركزي مع نصف المحور الكبير للأقمار الدخلية (كارم)



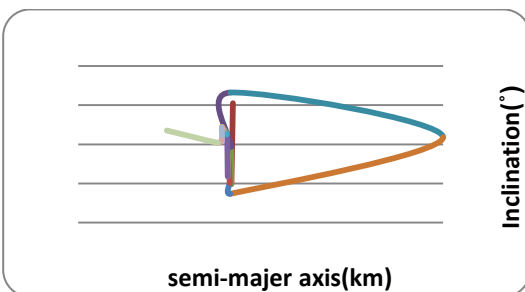
شكل (4) يبين تغير الميل مع نصف المحور الكبير للأقمار الدخلية (هيماليا ، اننك)



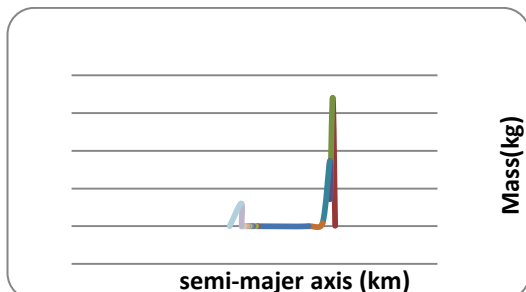
شكل (9) يبين تغير الكتلة مع نصف المحور الكبير للأقمار الدخلية (كارم)



شكل (5) يبين تغير الانحراف المركزي مع نصف المحور الكبير للأقمار الدخلية (هيماليا،اننك)



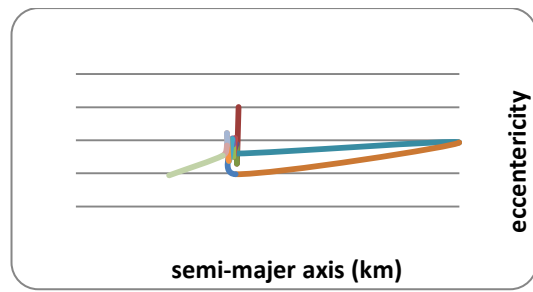
شكل (10) يبين تغير الميل مع نصف المحور الكبير للأقمار الدخلية (باسيفاي)



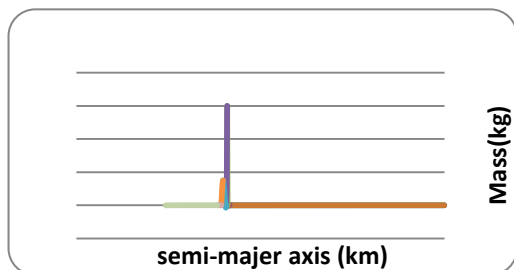
شكل(6) يبين تغير الكتلة مع نصف المحور الكبير للأقمار الدخلية (هيماليا ، اننك)

## المصادر:

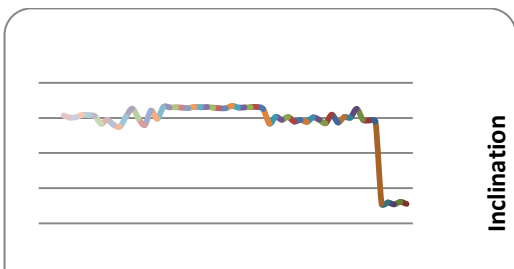
- [1] Stuart Ross Taylor, 2001. Solar system evolution: a new perspective : an inquiry into the chemical composition, origin, and evolution of the solar system, 2nd, illus., revised. Cambridge University Press.
- [2] Jewitt, D. C. and Sheppard, S. C. Porco. 2004. *Jupiter: The Planet, Satellites and Magnetosphere*. Cambrisbng: Cambrisbng University Press.
- [3] أغرب الأقمار في المنظومة الشمسية ، فبراير - مارس 2007 ، دي جويت وجماعته ، بحث منشور في مجلة العلوم (الترجمة العربية لمجلة سينتك أمريكان )، مؤسسة الكويت للتقدم العلمي ، العدد 23 .
- [4] Siedelmann, P. K.; Abalakin, V. K.; Bursa, M.; Davies, M. E.; de Bergh, C.; Lieske, J. H.; Obrest, J.; Simon, J. L.; Standish, E. M.; Stooke, P. ; Thomas, P. C. 2000. The Planets and Satellites 2000. (Report). IAU/IAG Working Group on Cartographic Coordinates and Rotational Elements of the Planets and Satellites.
- [5] Kelly, J. Beatty; Carolyn, Collins Peterson; Andrew Chaiki, 1999. The New Solar System. Massachusetts: Sky Publishing Corporation.
- [6] Hansen, C. J.; Bolton, S. J.; Matson, D. L.; Spilker, L. J.; Lebreton, J. ,2004,"The Cassini-Huygens flyby of Jupiter". *Icarus* **172** (1): 1–8. Bibcode:2004Icar..172....1H. doi: 10.1016/j.icarus .2004 . 06.018
- [7] Musotto, S.; Varadi, F.; Moore, W. B.; Schubert, G. 2002. Numerical simulations of the orbits of the Galilean satellites. *Icarus* **159** (2): 500–504. Bibcode:2002Icar..159..500M. doi : 10 . 1006 / icar.2002.6939.
- [8] McFadden, Lucy-Ann; Weissman, Paul; Johnson, Torrence, 2006.



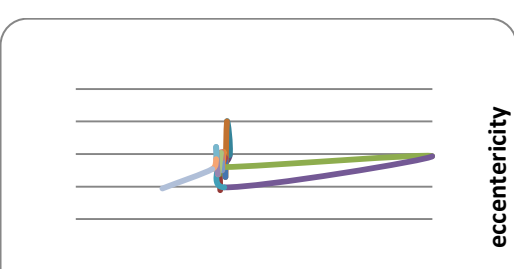
شكل (11) يبين تغير الانحراف المركزي مع نصف المحور الكبير للأقمار الدخلية (باسيفا)



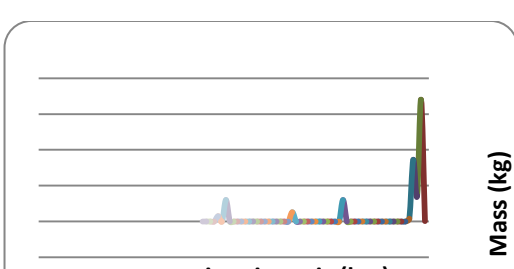
شكل (12) يبين تغير الكتلة مع نصف المحور الكبير للأقمار الدخلية (باسيفا)



شكل (13) يبين تغير ميل مدار الأقمار الدخلية جميعاً مع نصف المحور الكبير



شكل (14) يبين تغير الانحراف المركزي لمدارات الأقمار الدخلية جميعاً مع نصف المحور الكبير



شكل (15) يبين تغير الكتلة للأقمار الدخلية جميعاً مع نصف المحور الكبير للمدار

- [12] Nesvorný, David; Beaugé, Cristian; Dones, 2004. Collisional Origin of Families of Irregular Satellites" (PDF). *The Astr. J.* **127** (3): 1768–1783. Bibcode :2004 AJ ....127. 1768N. doi: 10.1086/382099.
- [13] Murdin, Paul. 2000. Encyclopedia of Astronomy and Astrophysics, Bristol: Institute of Physics Publishing.
- [14] Jacobson, R. A. 2001. The Gravity Field of the Jovian System and the Orbits of the Regular Jovian Satellites. 33rd Annual Meeting of the Division for Planetary Sciences, New Orleans, Louisiana
- Encyclopedia of the Solar System , 2nd. Academic Press.
- [9] Alibert, Y.; Mousis, O. and Benz, W. 2005. Modeling the Jovian subnebula I. Thermodynamic conditions and migration of proto-satellites. *Astr. and Astrophysics J.* **439** (3): 1205–13.
- [10] Grav, Tommy; Holman, Matthew J.; Gladman, Brett J.; Aksnes, Kaare. 2003. Photometric survey of the irregular satellites. *Icarus* **166** (1): 33–45.
- [11] Sheppard, Scott S.; Jewitt, David C.; Porco, Carolyn. 2004. Jupiter's outer satellites and Trojans. Cambridge planetary science **1** (Cambridge, UK: Cambridge University Press). pp. 263–280.

## Study the genesis of the Moons of Jupiter and their Physical Properties

*Farid M. Mahdi*

Department of Physics, College of Education for Pure Science, University of Anbar.

Received 10, May, 2014

Accepted 5, February, 2014

### **Abstract:**

A developed model has been put for the hypothesis of capturing moons in explaining the origin of Jupiter moons, and study the change of the orbital properties of these satellites as well as the distance from the planet. Jupiter moons were divided into two types according to their physical and orbital properties, they are the moons , which are formed from the same material as the planet, so it was named the original moons ,while the moons that have been captured from the surrounding space was renamed exotic moons . And the moons of exotic origin asteroid belt and the Kuiper belt in the region which is behind Neptune, the origin of each clique of moons is an asteroid fragmented after colliding previously with another body and then gathered again by simple gravity of its parts among them, and then it has been disintegrated once again due to the influence of the gravity of the planet against it, and the process of captivity are due to the gravitational interaction between the asteroid or comet and the planet when one of them enters within Hill ball to Jupiter.

**Key words:** Model, Capture of moons, Jupiter, Original moons, Exotic moons.